

# CBRAM RF pour application en RFID chipless

ARNAUD VENA

IES, Univ Montpellier, CNRS, Montpellier, France

ETIENNE PERRET

LCIS, Univ Grenoble Alpes, Valence, France



UNIVERSITÉ  
DE MONTPELLIER



30/06/2022 Journée scientifique - « Communication par rétrodiffusion et rétro modulation »

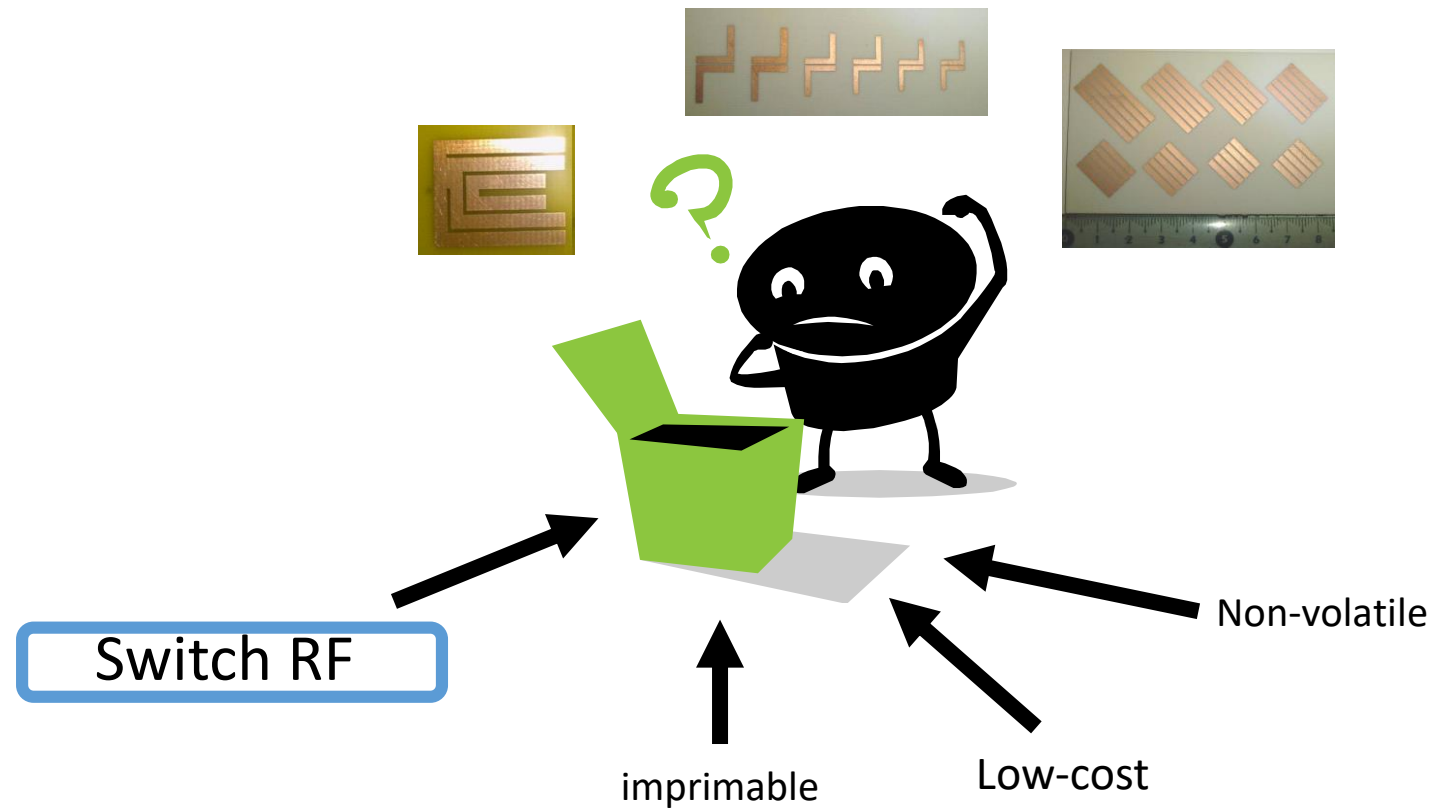


# PLAN

- **Technologie CBRAM**
- Circuits passifs reconfigurables sur substrat rigide
- Circuits passifs reconfigurables flexibles
- Etude de structures planaires
- Conclusion et perspectives

# TECHNOLOGIE CBRAM

*Motivation de départ : Comment rendre un tag RFID chipless reprogrammable ?*



30/06/2022 Journée scientifique - « Communication par rétrodiffusion et rétro modulation »

# TECHNOLOGIE CBRAM

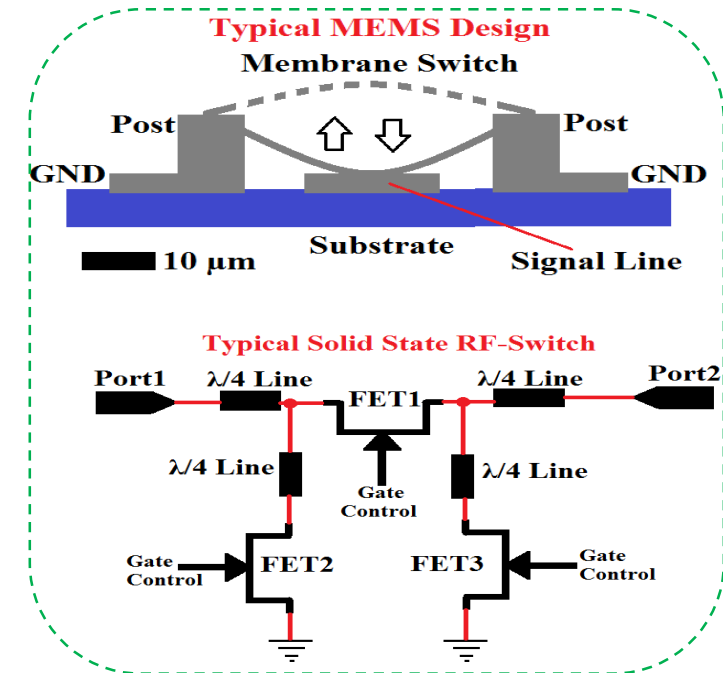
A Switch is an electrical component which makes or breaks an electrical circuit, interrupting, guiding or diverting the current from one conductor to another...!

## RF Switch

Low-Loss, Broad Band performance, Fast Switching  
Minimum addition of stray capacitance and inductances to the circuit  
**Electronic reconfigurability, Low Cost, Ease of fabrication**

## Volatile Switching Devices

- Solid State Semiconductors
- Micro Electro Mechanical Systems (MEMS)

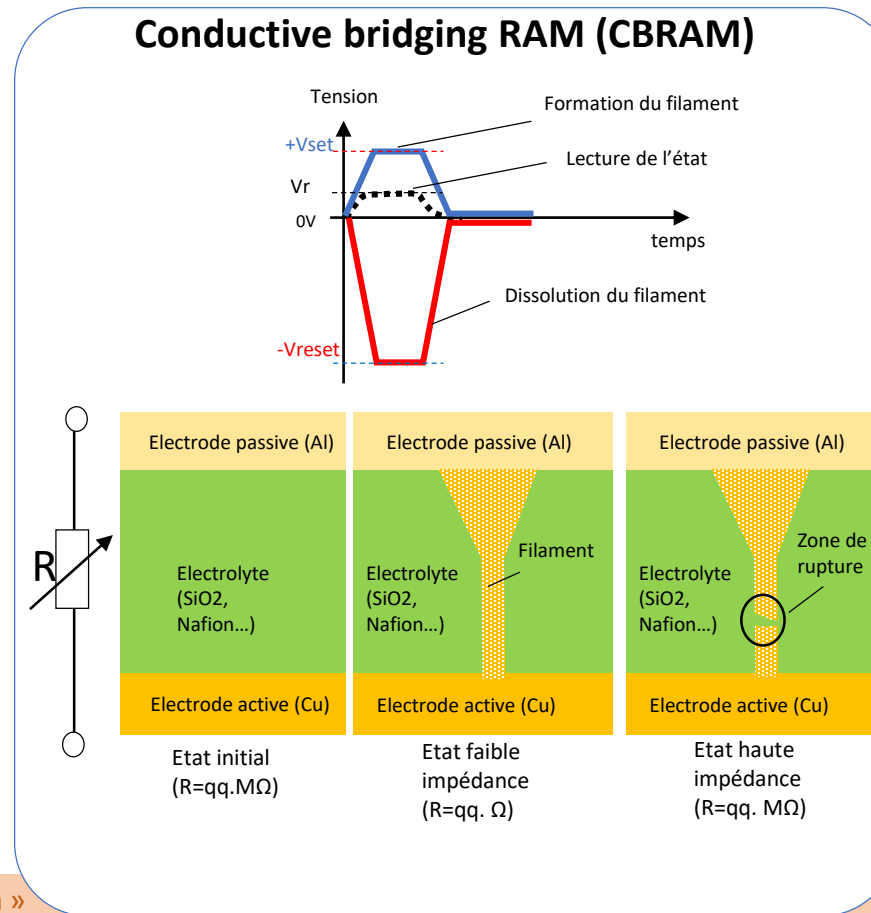
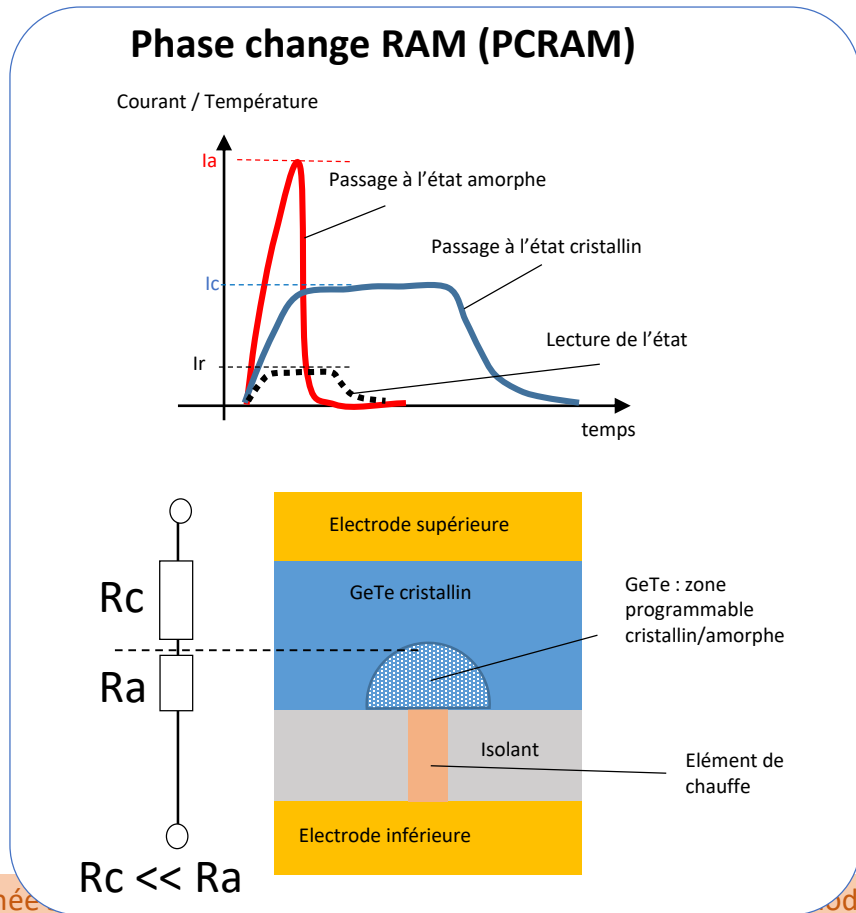


## Non-Volatile Switching Devices

• Memristive Devices : PCM or Phase Change Memory switches, **CBRAM** or **Conductive Bridging Random Access Memory** switches, also known as **Metal-Insulator-Metal (MIM)** Switches.

# TECHNOLOGIE CBRAM

## Principe de base : Mémoires résistives non volatiles

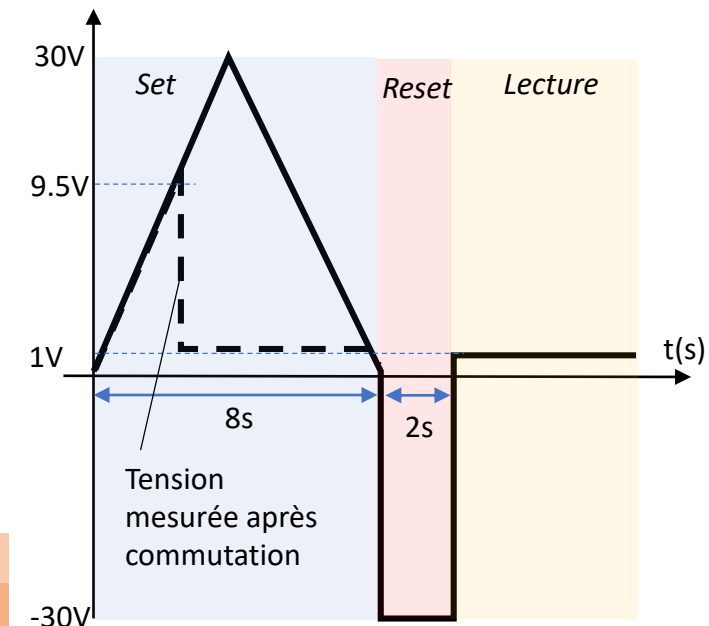
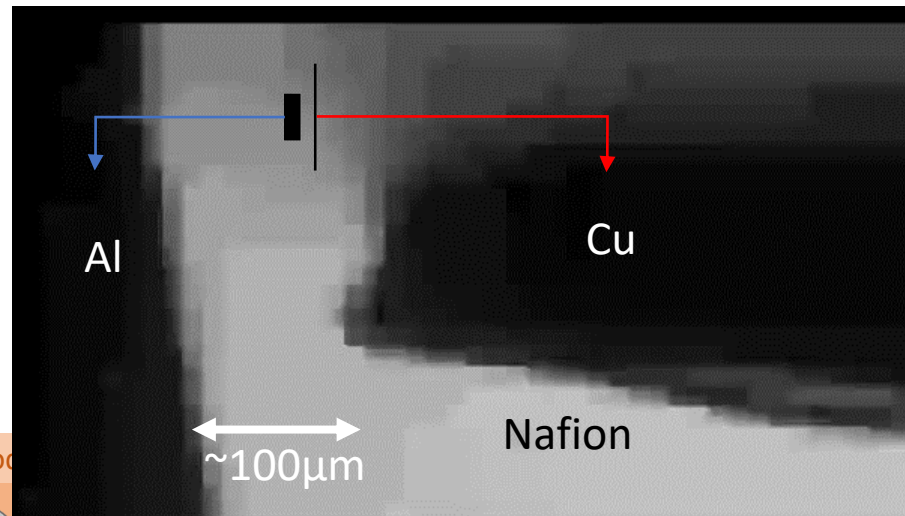
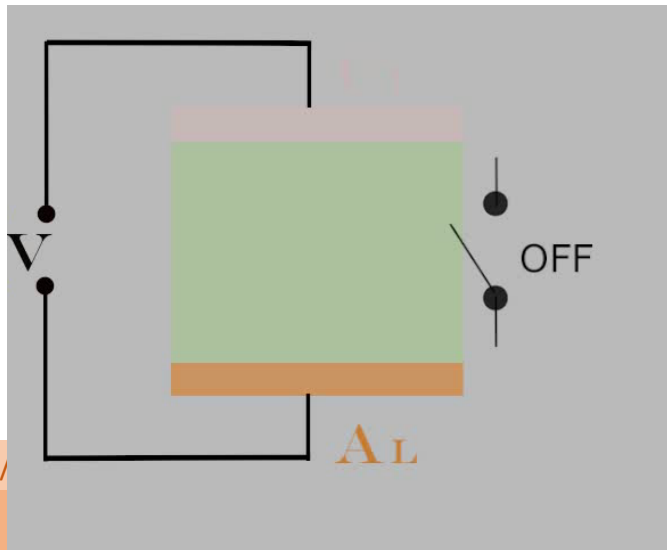
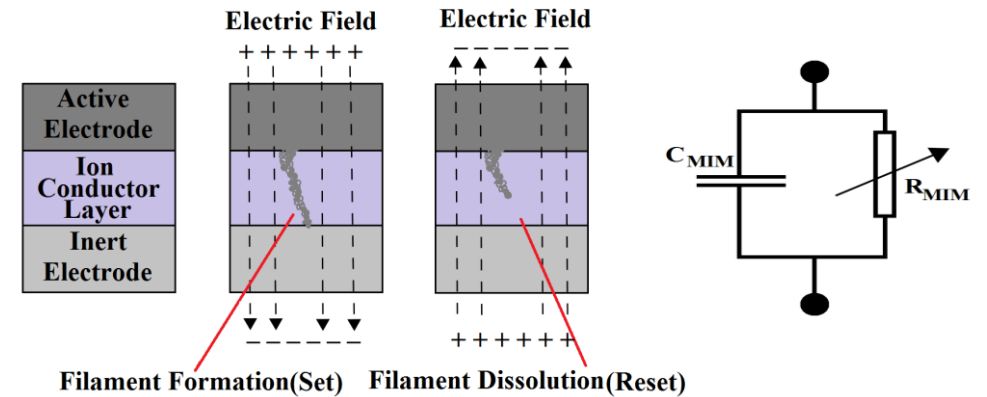


# TECHNOLOGIE CBRAM

## Principe de base : Mémoire CBRAM

### Phénomène physique

- 1) Oxydation d'une électrode active
- 2) Migration ionique vers l'électrode inerte
- 3) Réduction des ions sur l'électrode inerte
- 4) Croissance d'un filament conducteur de l'électrode inerte vers l'électrode active



# TECHNOLOGIE CBRAM

**We use Nafion as the ion conductor in our MIM Switches... Why?...**

Nafion® is an Ionomer (Ion-Conducting Polymer) well known for its fast-ion conducting properties and use in proton-exchange-membrane fuel cells.

We have used Nafion, for the first time as an Ion-Conductor for CBRAM/MIM Applications

Advantages over the inorganic compounds like Chalcogenide glass, used classically :

- ✓ Ease of fabrication, Layer formed by spin coating the Nafion resin solution
- ✓ No need of any high temperature process, could be air dried
- ✓ Nafion layer is stable in ambient environment without any conformal coating



No Need for Clean Room



No Need for High Temperature Process



Stable in Ambient Environment

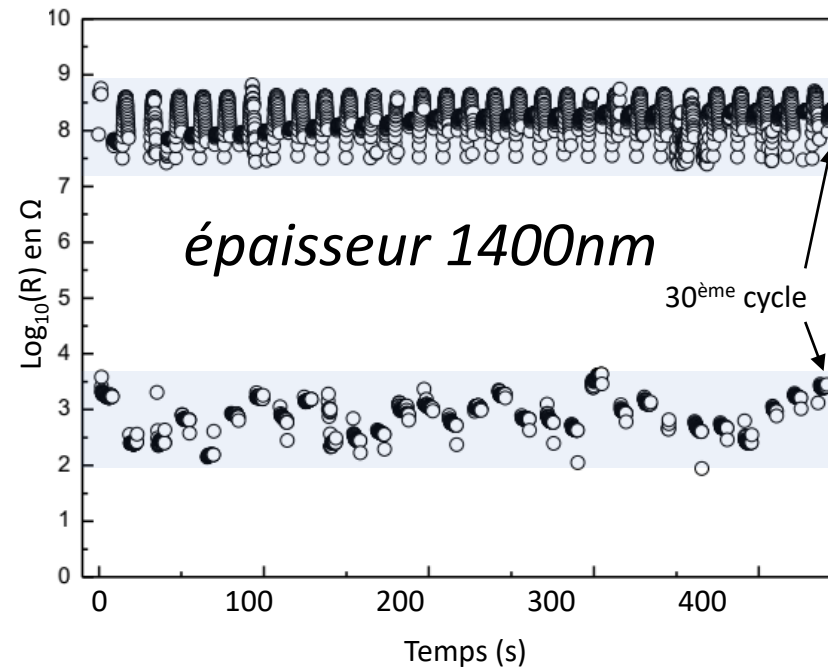
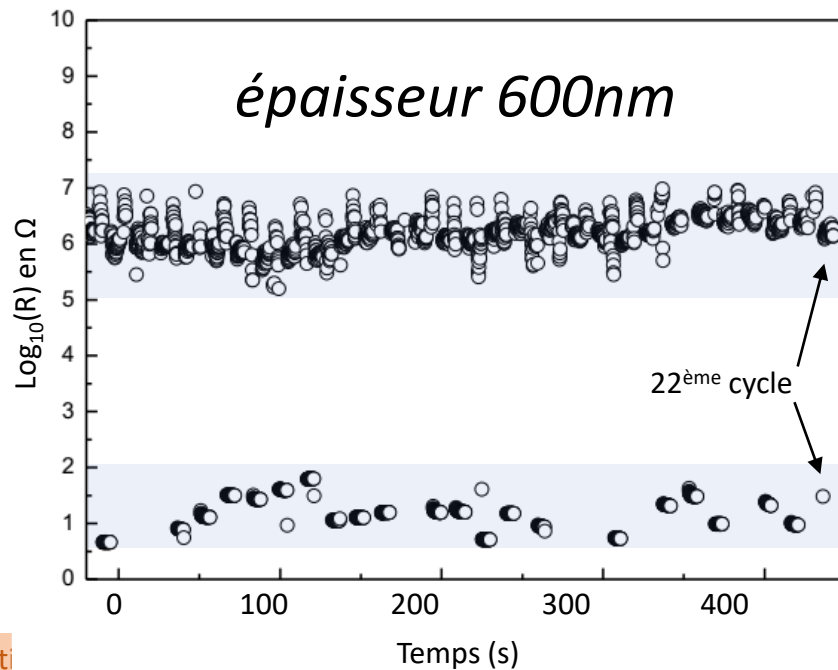
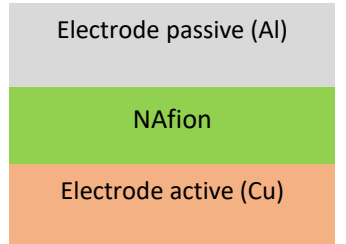
30/06/20

rétrodiffusion

# TECHNOLOGIE CBRAM

## Etude de l'empilement Cu/Nafion®/Al

- Propriétés du Nafion®
- Bon conducteur ionique (ionomer)
  - Grande résistance aux solvants
  - Utilisé comme membrane d'échange de protons dans les PAC

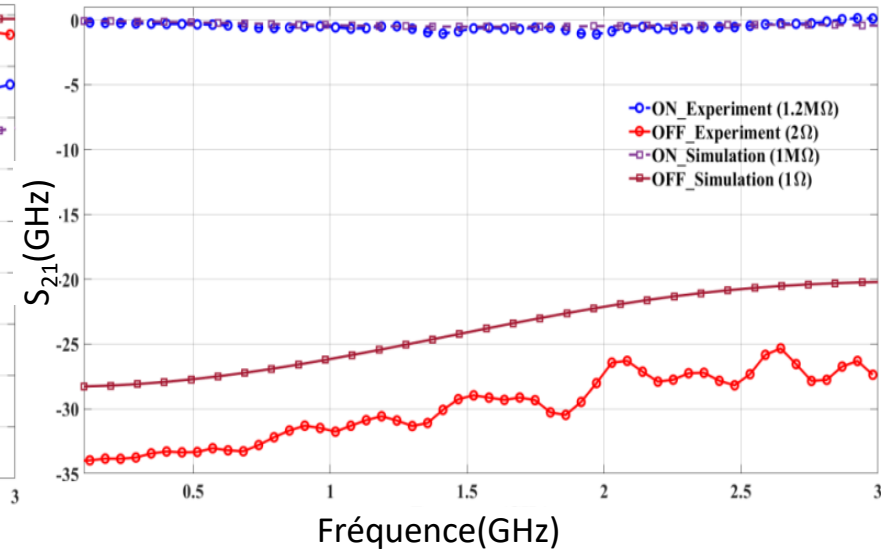
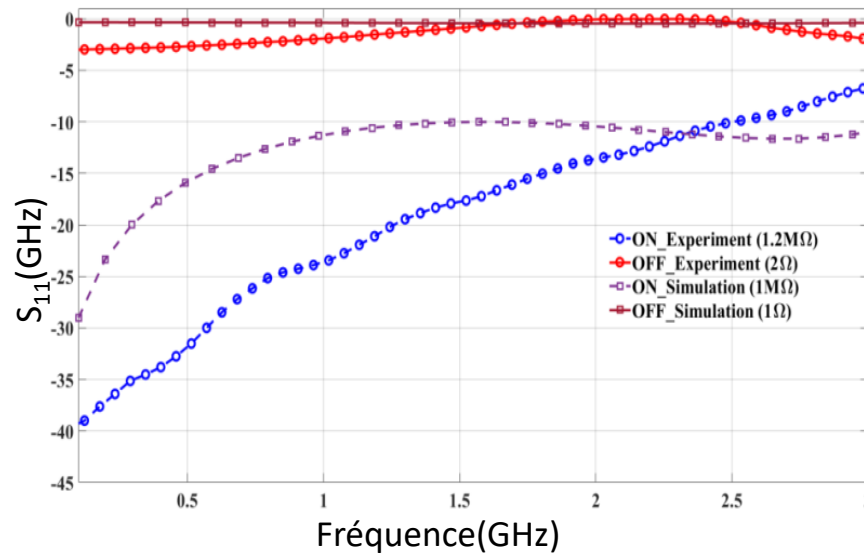
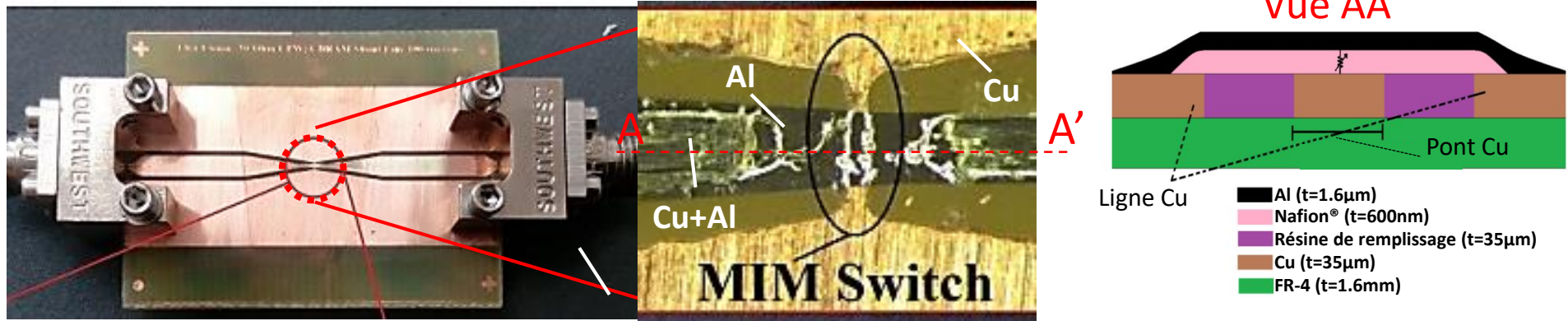


# PLAN

- Technologie CBRAM
- **Circuits passifs reconfigurables sur substrat rigide**
- Circuits passifs reconfigurables flexibles
- Etude de structures planaires
- Conclusion et perspectives

# CIRCUITS PASSIFS RECONFIGURABLES SUR SUBSTRAT RIGIDE

## Conception d'un switch RF en mode « shunt » réalisé sur PCB

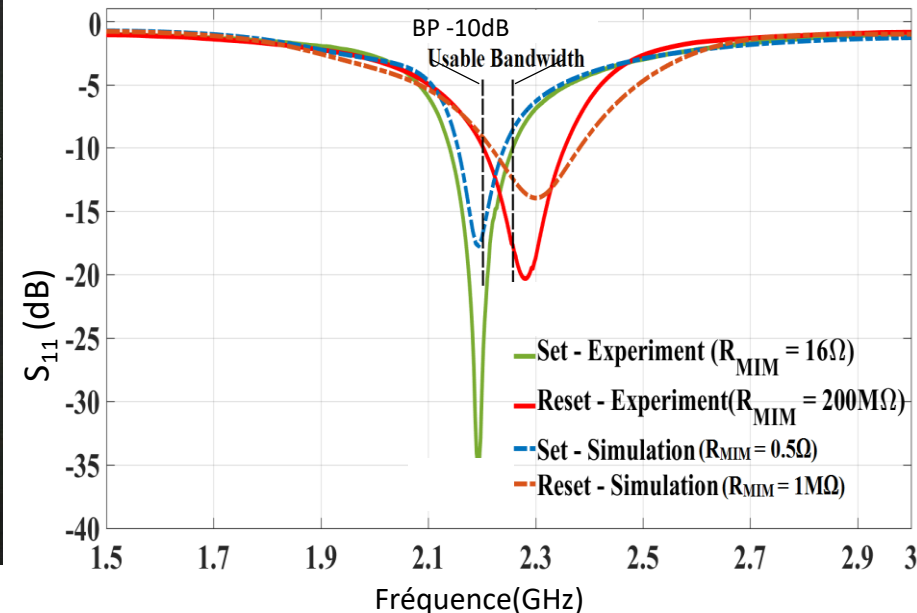
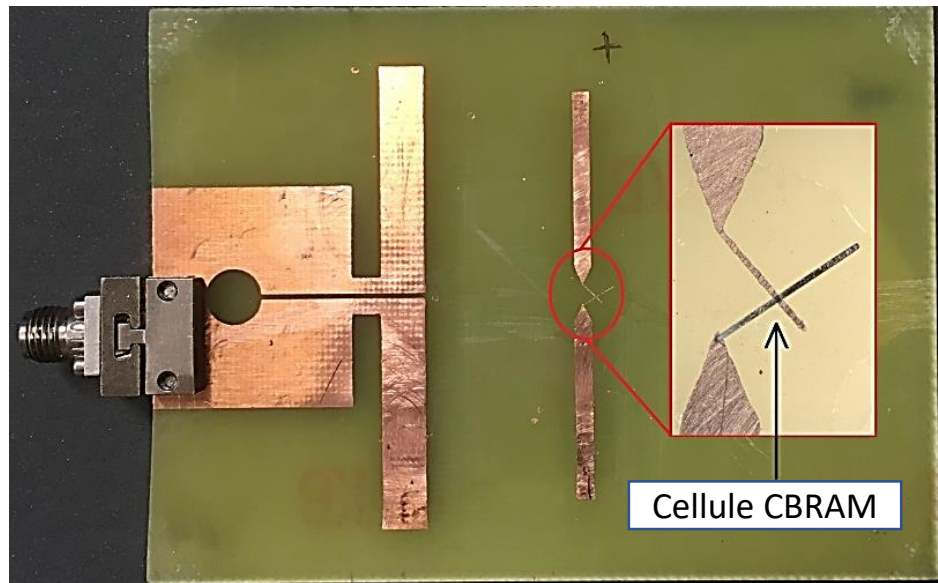


# CIRCUITS PASSIFS RECONFIGURABLES SUR SUBSTRAT RIGIDE

## Réalisation d'une antenne accordable en faisceau

### Antenne dipôle avec élément parasite directeur chargé

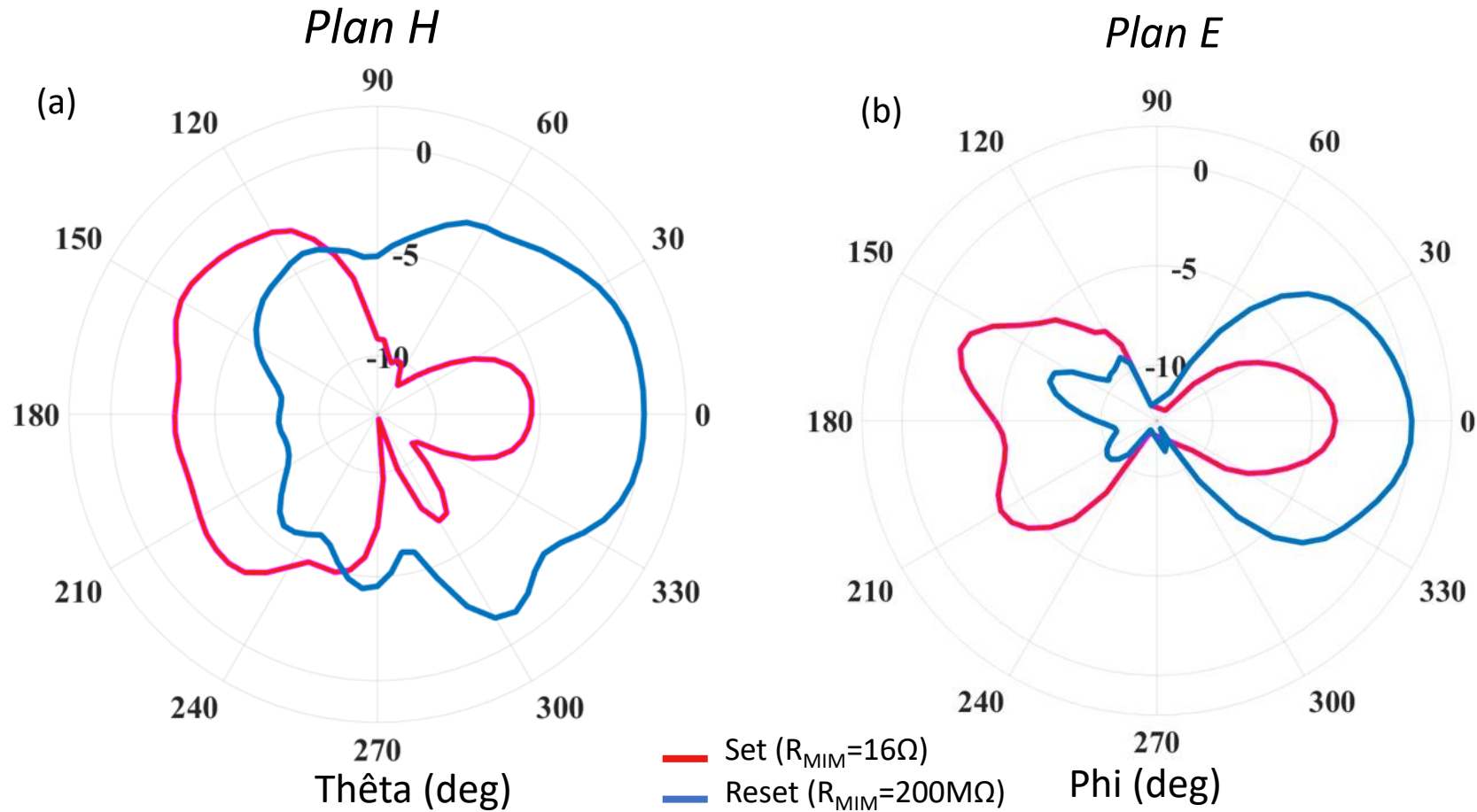
- Fréquence centrale : 2,25GHz
- Niveau d'adaptation dans la bande passante : < -10dB
- Bande passante à -10dB : ~54MHz



M. P. Jayakrishnan, E. Perret, A. Vena, et B. Sorli, « Electronically Reconfigurable Dipole Antenna Using Integrated Passive Non-Volatile Solid-State Metal-Insulator-Metal Switches », in 2019 IEEE International Symposium on Antennas and Propagation and USNC-URSI Radio Science Meeting, 2019, p. 303–304.

# CIRCUITS PASSIFS RECONFIGURABLES SUR SUBSTRAT RIGIDE

Réalisation d'une antenne agile en faisceau



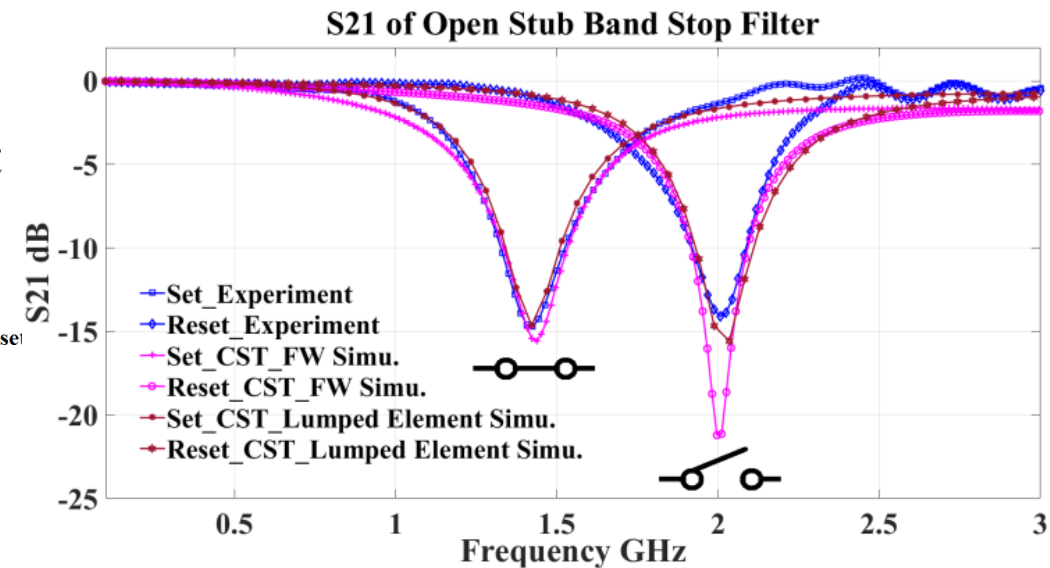
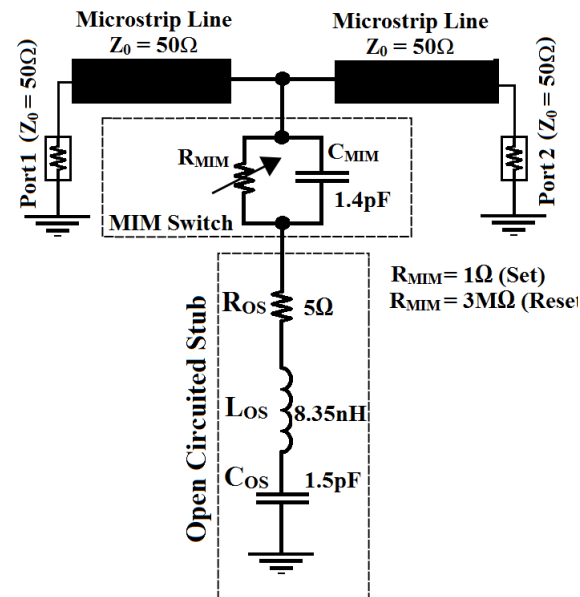
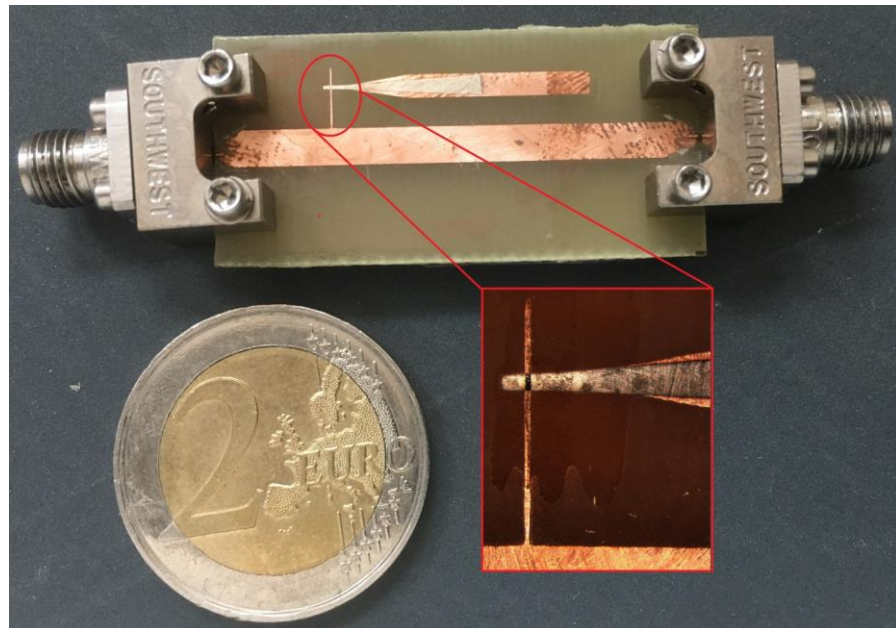
30/06/2022 Journée scientifique - « Communication par rétrodiffusion et rétro modulation »

# CIRCUITS PASSIFS RECONFIGURABLES SUR SUBSTRAT RIGIDE

## Réalisation d'une filtre réjecteur de bande accordable en fréquence

### Ligne microstrip connecté à un stub en circuit ouvert

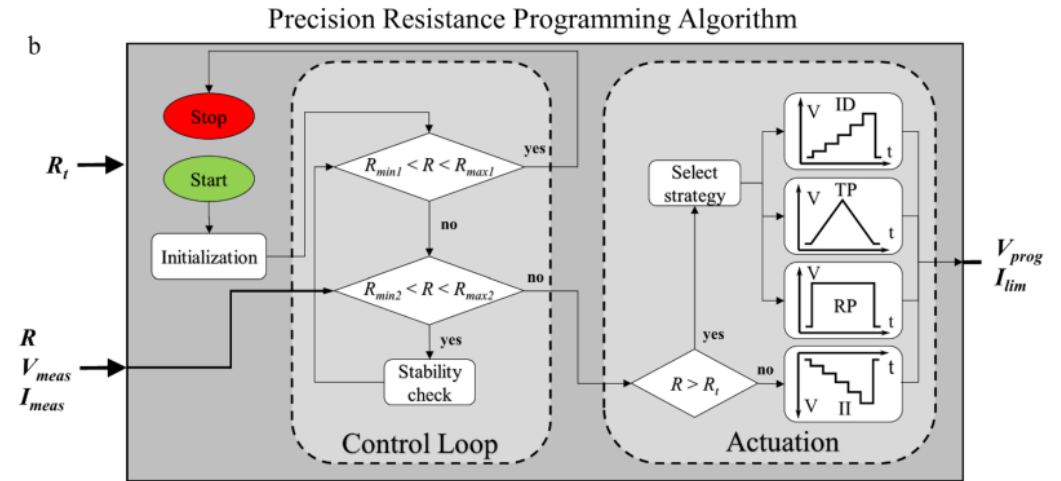
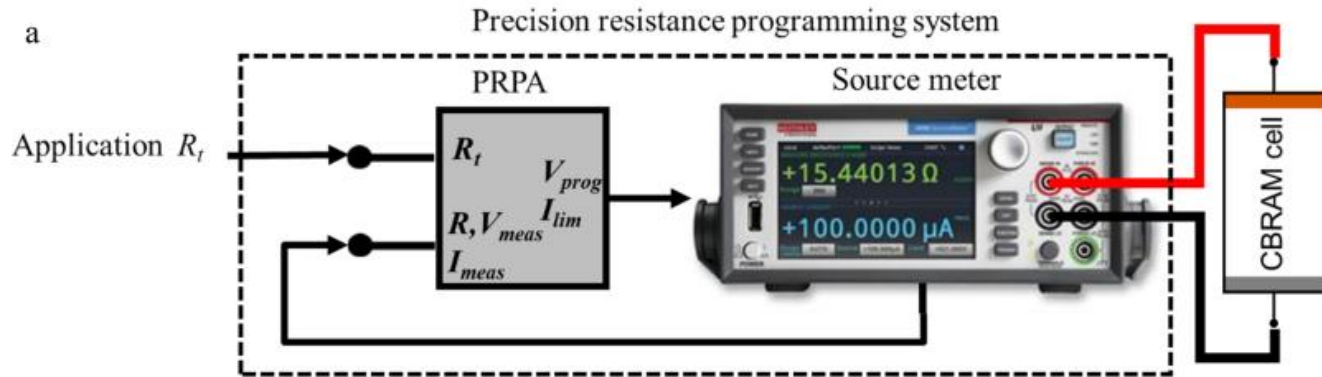
- Fréquence : 1,5GHz à 2GHz
- Largeur de bande à -10dB : 140 MHz
- Isolation : -14dB



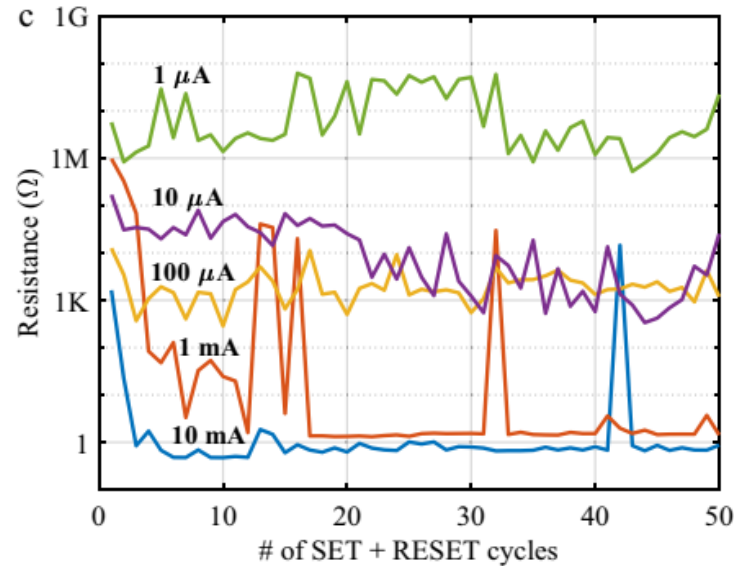
MP Jayakrishnan, A Vena, B Sorli, E Perret « Investigation of integrated solid state nano-ionic metal–insulator–metal switches for electronically reconfigurable band-stop filter applications, » IET Microwaves, Antennas & Propagation, 2019

# CIRCUITS PASSIFS RECONFIGURABLES SUR SUBSTRAT RIGIDE

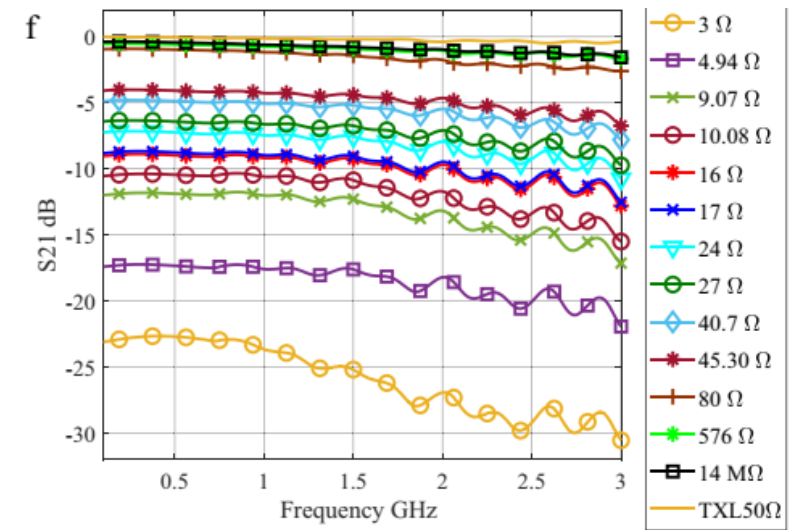
## Optimisation de la programmation des cellules CBRAM



## Resistance en fonction du courant de limitation



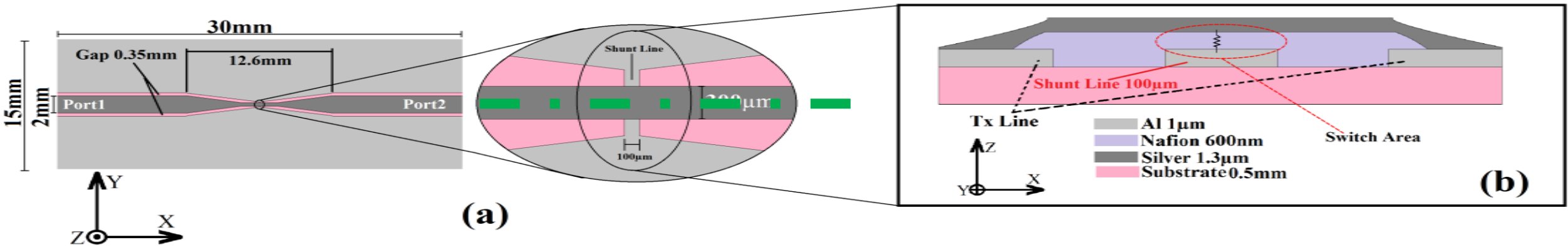
## Atténuateur RF reconfigurable (S21)



# PLAN

- Technologie CBRAM
- Circuits passifs reconfigurables sur substrat rigide
- **Circuits passifs reconfigurables flexibles**
- Etude de structures planaires
- Conclusion et perspectives

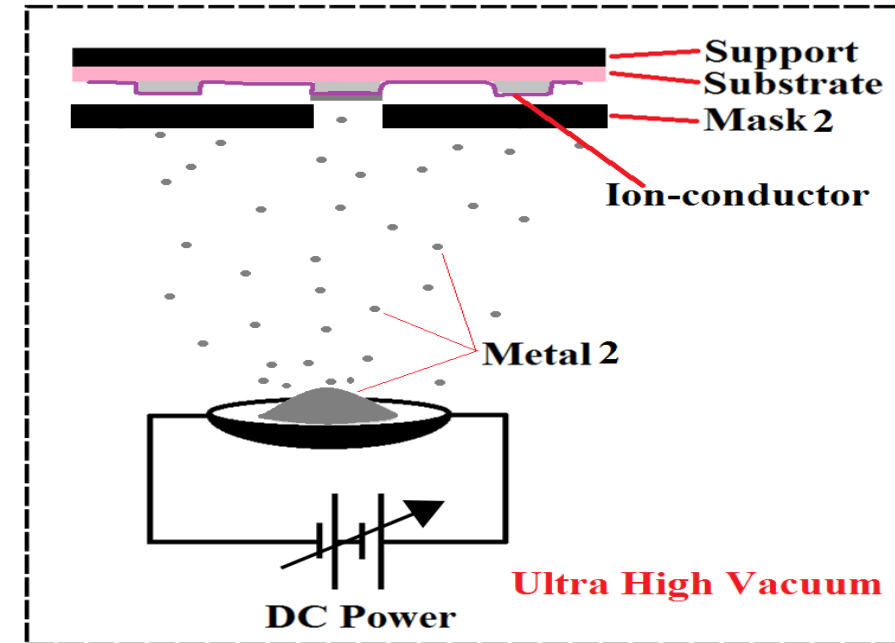
# CIRCUITS PASSIFS RECONFIGURABLES FLEXIBLES



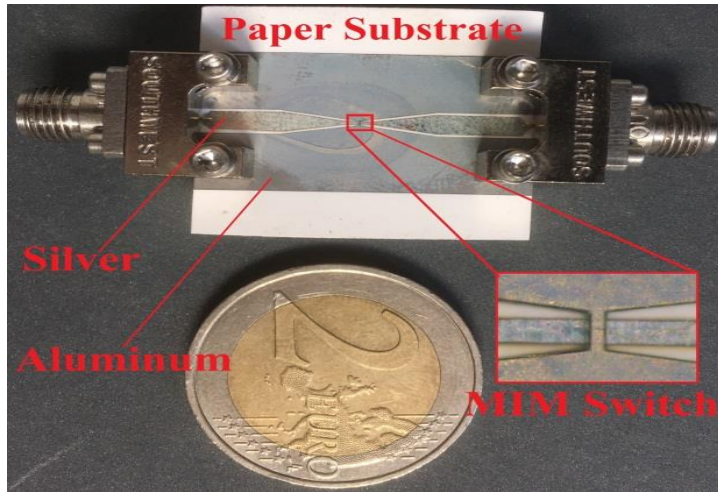
Active electrode : Silver  
 Inert electrode : Aluminum  
 Electrolyte/Ion Conductor : Nafion  
 Substrate : Paper (Univ. Montpellier)

## Fabrication Process

1. Place Mask 1 for Metal 1 and Thermal vapor deposition
2. Spin coating and drying of Nafion
3. Place Mask 2 for Metal 2 and Thermal vapor deposition

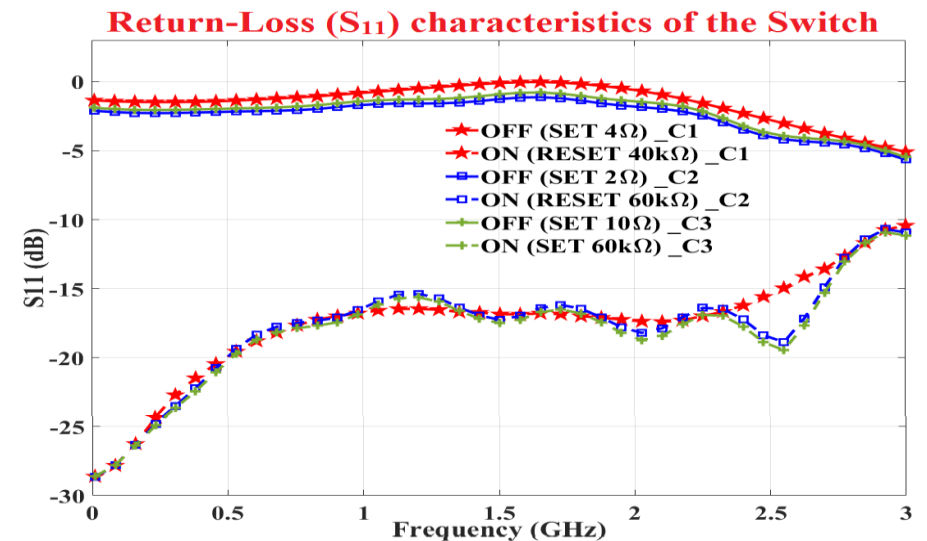
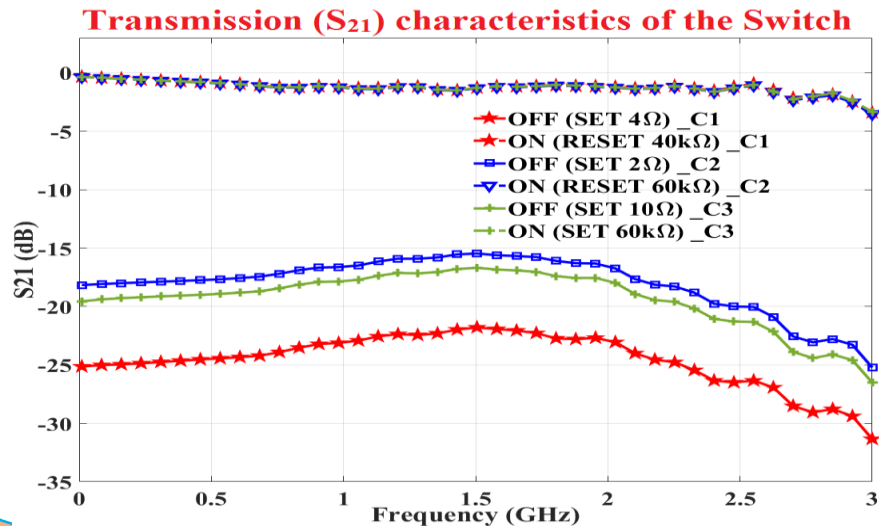


# CIRCUITS PASSIFS RECONFIGURABLES FLEXIBLES



Photograph of the fabricated RF-Switch showing a microphotograph (Inset) of the MIM switch area

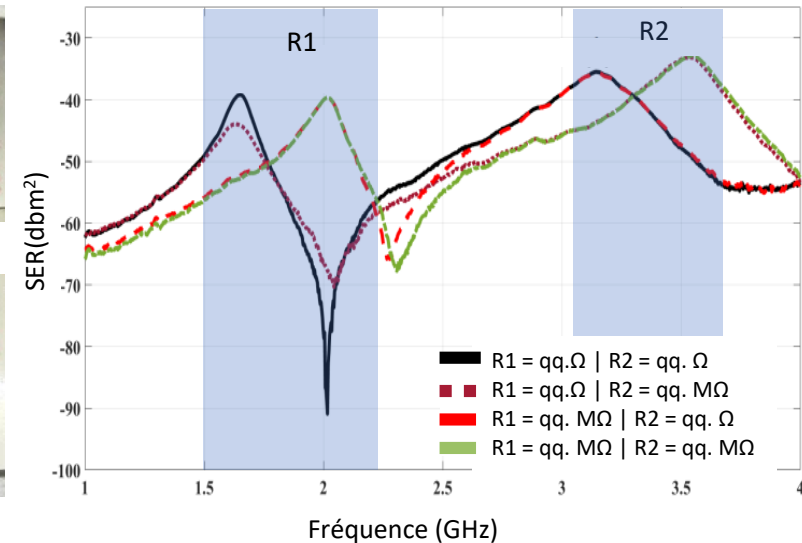
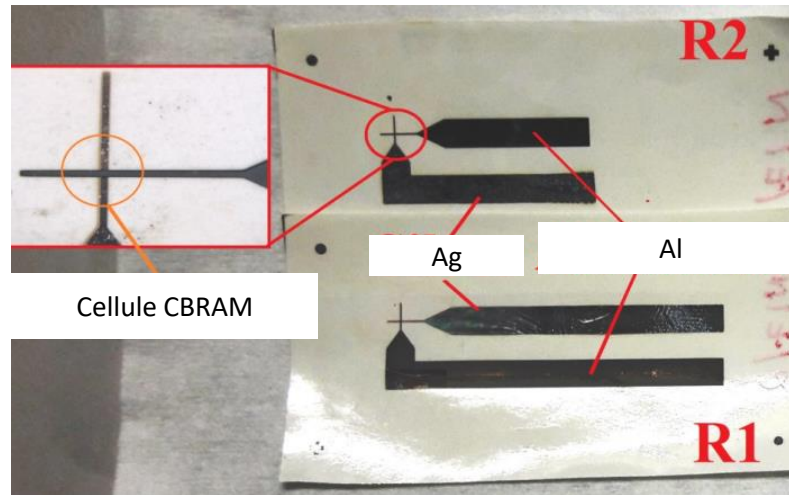
## RF Performance (S-Parameters) of the switch



# CIRCUITS PASSIFS RECONFIGURABLES FLEXIBLES

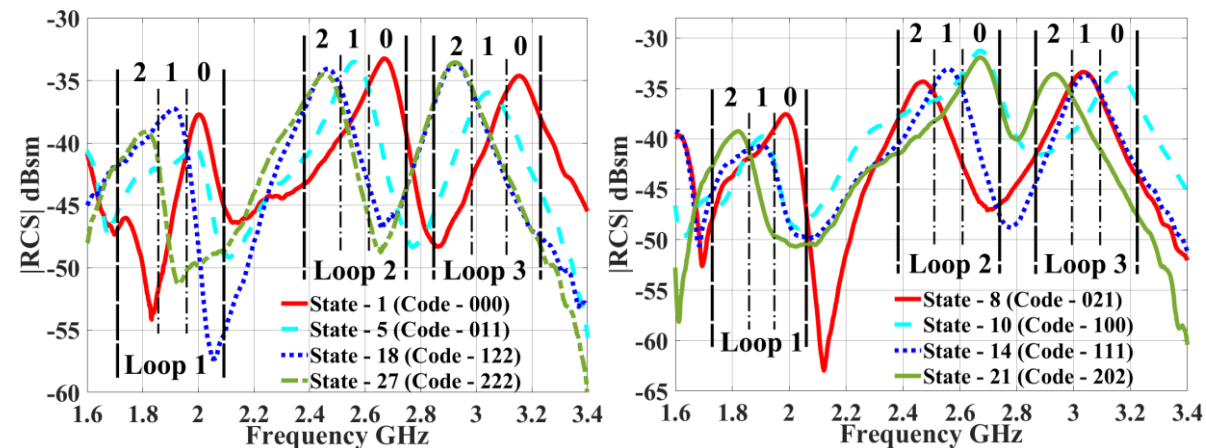
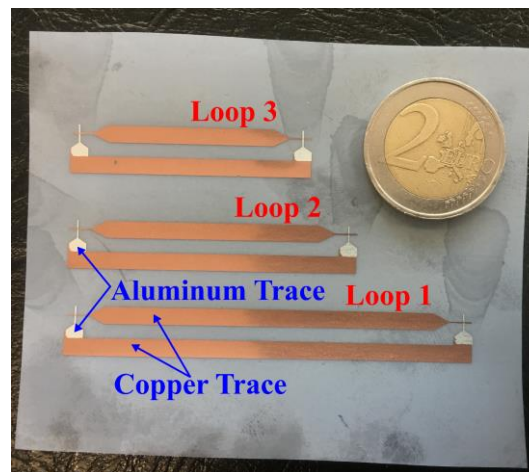
## Tag chipless reconfigurable 4 bits sur papier

J. M. Purushothama, A. Vena, B. Sorli, et E. Perret, « Electronically Re-Writable Chipless RFID Tag Using Solid State Metal-Insulator-Metal Switches on Paper Substrate », in 2019 IEEE/MTT-S International Microwave Symposium-IMS 2019, 2019, p. 400–403.



## Tag chipless reconfigurable réalisé par impression thermique

J. M. Purushothama, S. Lopez-Soriano, A. Vena, B. Sorli, I. Susanti and E. Perret, "Electronically Rewritable Chipless RFID Tags Fabricated Through Thermal Transfer Printing on Flexible PET Substrates," in IEEE Transactions on Antennas and Propagation, vol. 69, no. 4, pp. 1908-1921, April 2021



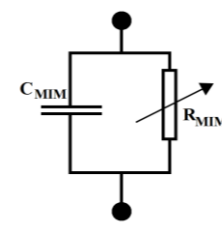
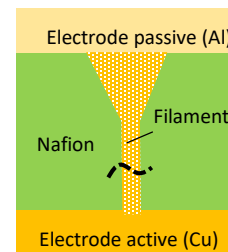
# PLAN

- Technologie CBRAM
- Circuits passifs reconfigurables sur substrat rigide
- Circuits passifs reconfigurables flexibles
- **Etude de structures planaires**
- Conclusion et perspectives

# ETUDE DE STRUCTURES PLANAIRES

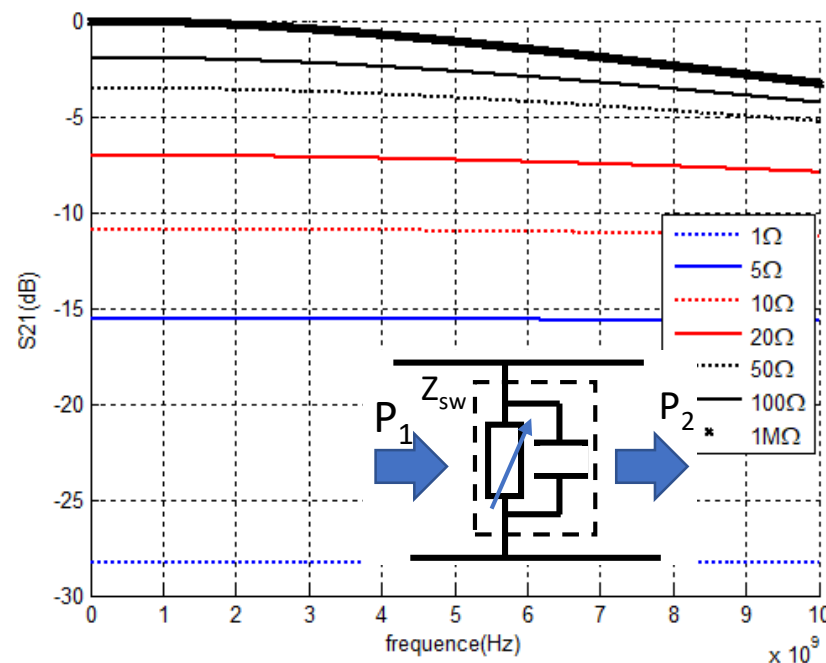
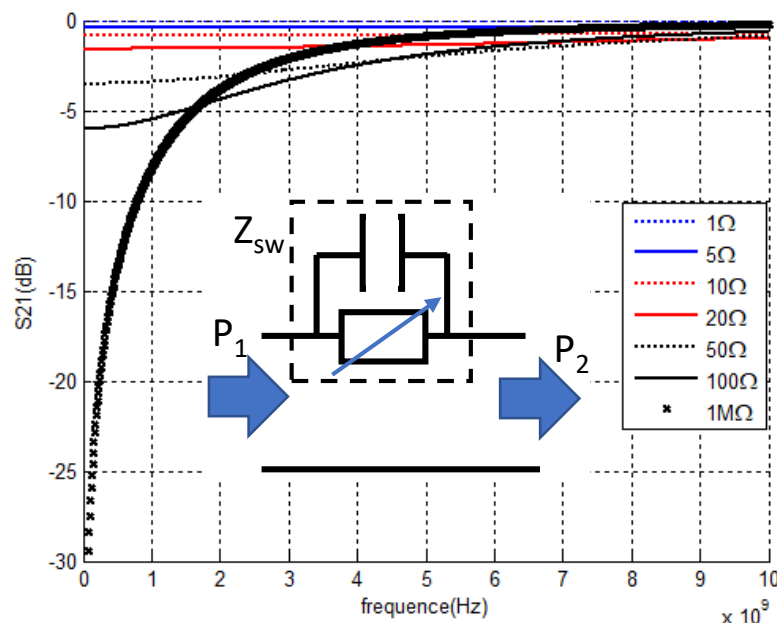
## Impédance vs fréquence en fonction de la topologie

- épaisseur d'électrolyte : 500nm
- surface d'électrode : 100x100μm<sup>2</sup>



$$Z_{SW} = \frac{1}{\frac{1}{R} + j \cdot C \omega}$$

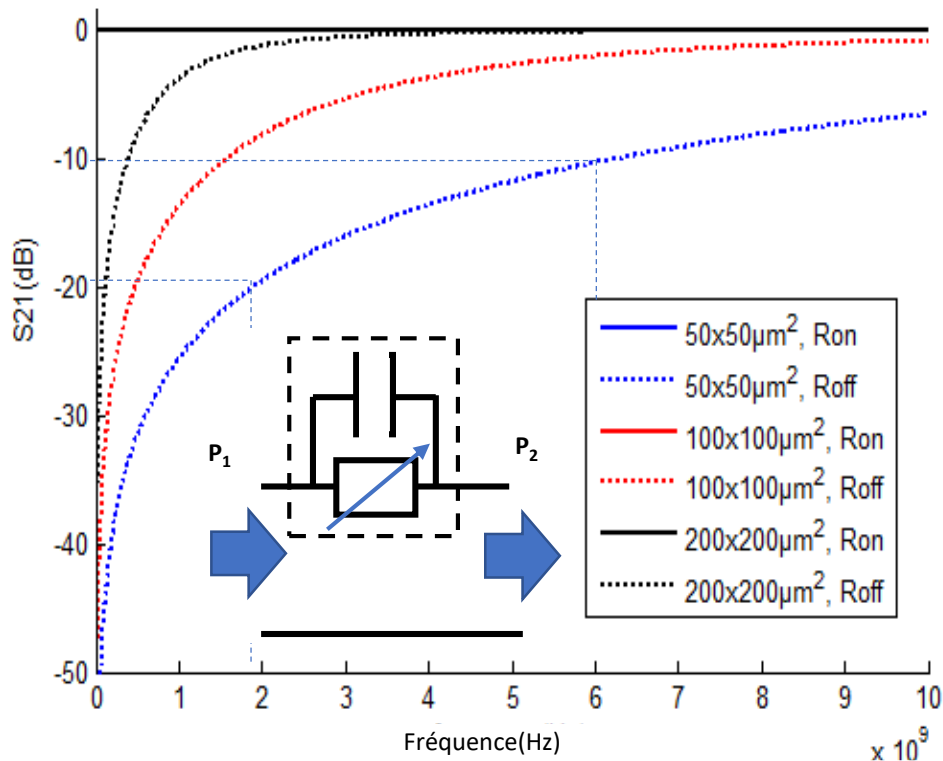
$$S_{21serie} = \frac{2Z_0}{2Z_0 + Z_{sw}}$$



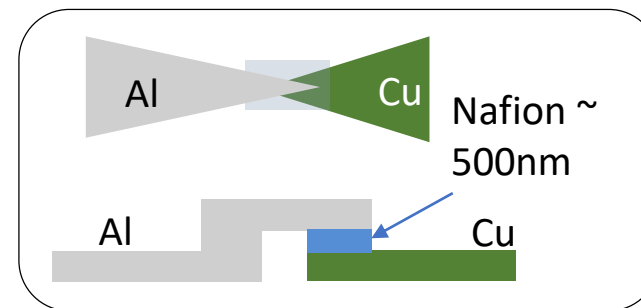
$$S_{21parallèle} = \frac{2Z_{sw}}{Z_0 + 2Z_{sw}}$$

# ETUDE DE STRUCTURES PLANAIRES

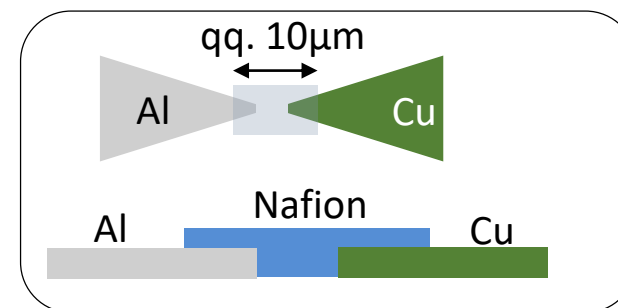
## Montée en fréquence



$$C_{MIM} \approx \epsilon_0 \epsilon_r \frac{S}{h}$$



De MIM vers planaire



➔ Topologie planaire, augmentation du gap entre les deux électrodes

# ETUDE DE STRUCTURES PLANAIRES

## 1. Using laser to form $\mu$ gap

- 2W, 3R
- W-21  $\mu\text{m}$ , D-15  $\mu\text{m}$

## 2. Sonication procedure

- Cleaning with DI water
- Sonication with Acetone for 20 mins, drying with compressed air

## 3. Chemical Etching procedure (After fabrication)

- Cleaning the sample with the sonication procedure
- Chemical Etching with  $\text{FeCl}_3$  solution for 10-30 secs
- Cleaning with DI water
- Drying with compressed air

## 4. Electroplating of Cu

- For 40 mins and at 8 mA

## 5. Chemical Etching procedure (After Cu deposition)

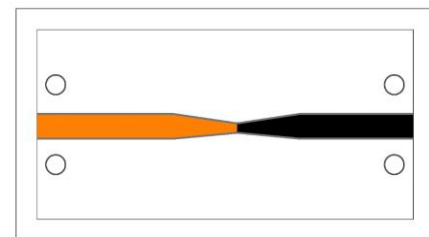
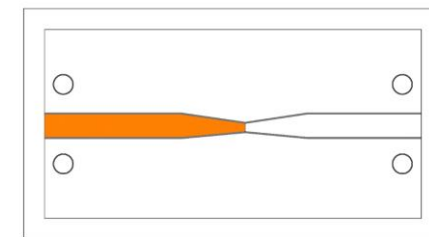
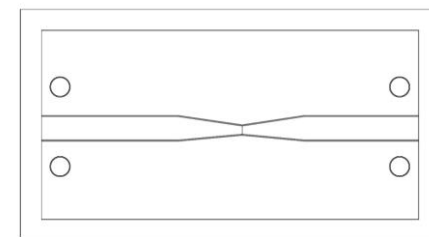
- Cleaning the sample with the sonication procedure
- Chemical Etching with  $\text{FeCl}_3$  solution for 5-10 secs

## 6. Electroplating of Ni

- For 10 mins and at 8 mA

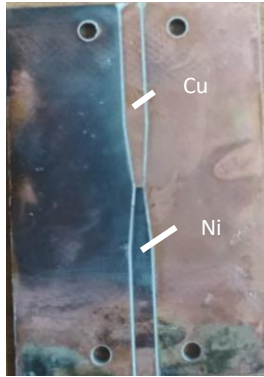
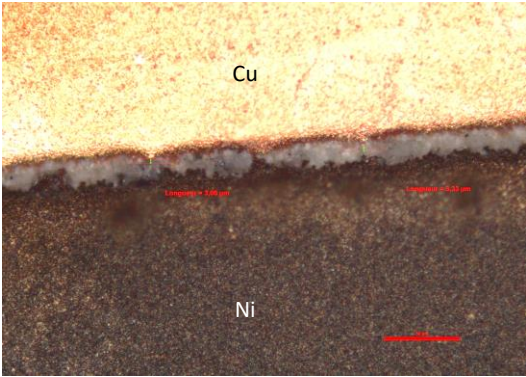
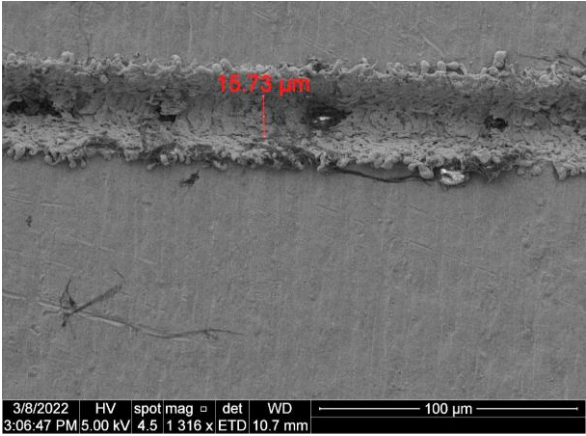
## 7. Nafion deposition

- Drop of Nafion

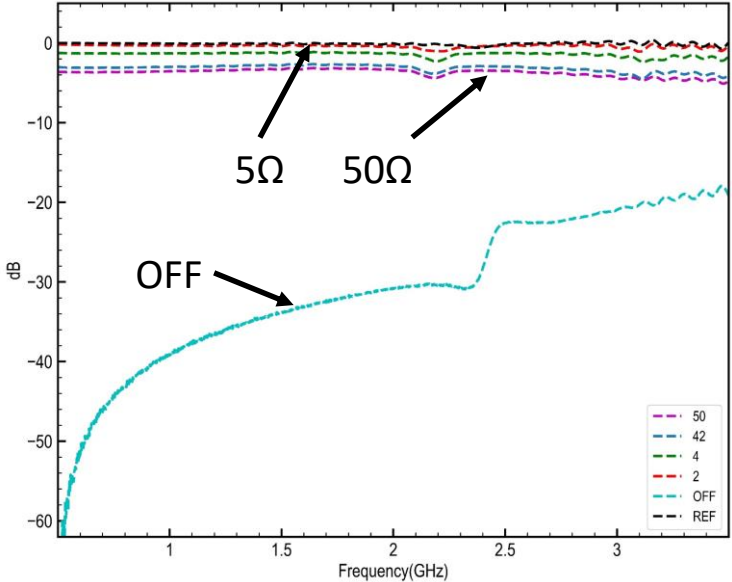


# ETUDE DE STRUCTURES PLANAIRE

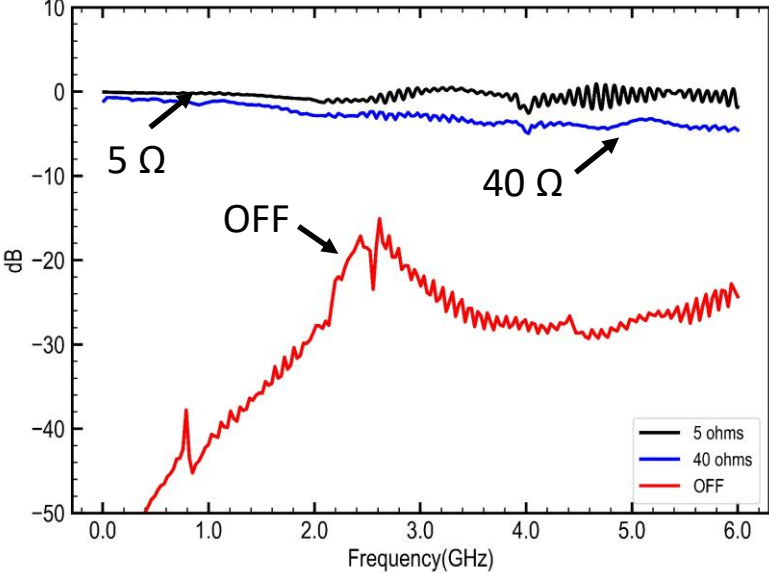
## Switch planaire reconfigurable Cu-Ni réalisé sur substrat rigide



Echantillon 1 : coefficient de transmission S21 (100kHz-3GHz)



Echantillon 2 : coefficient de transmission S21 (300kHz-6GHz)

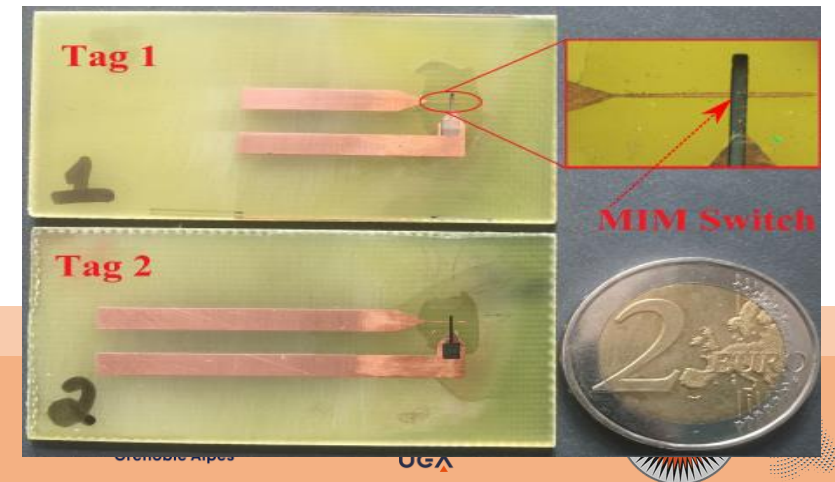
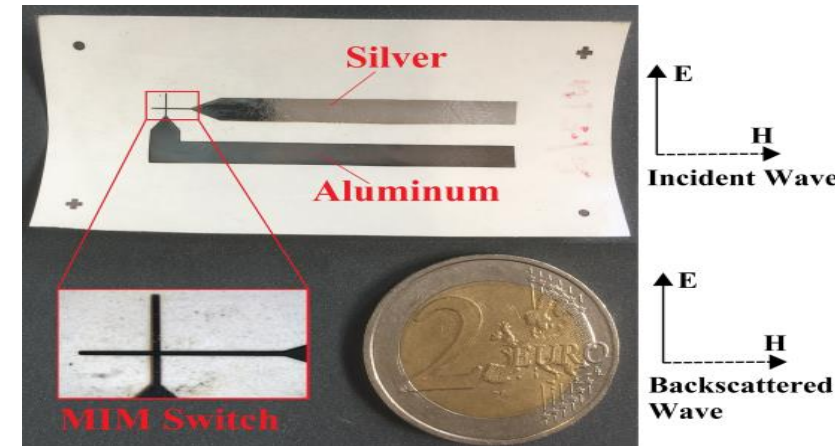
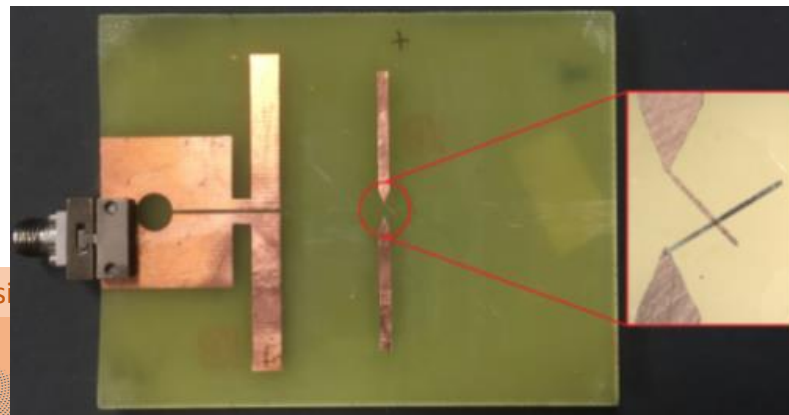
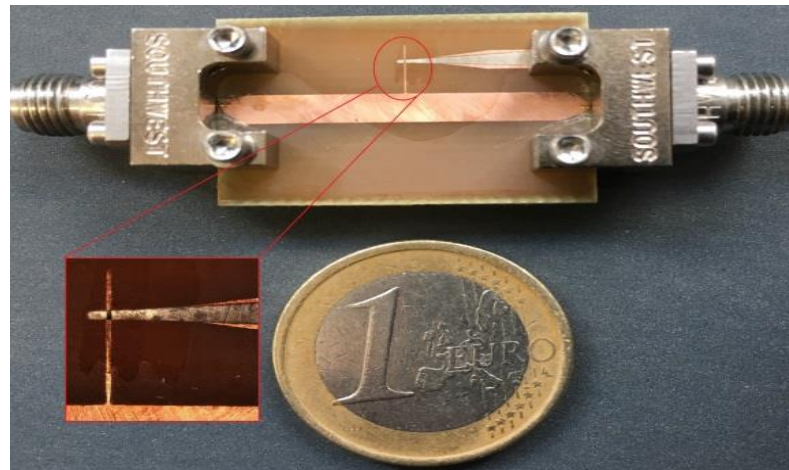
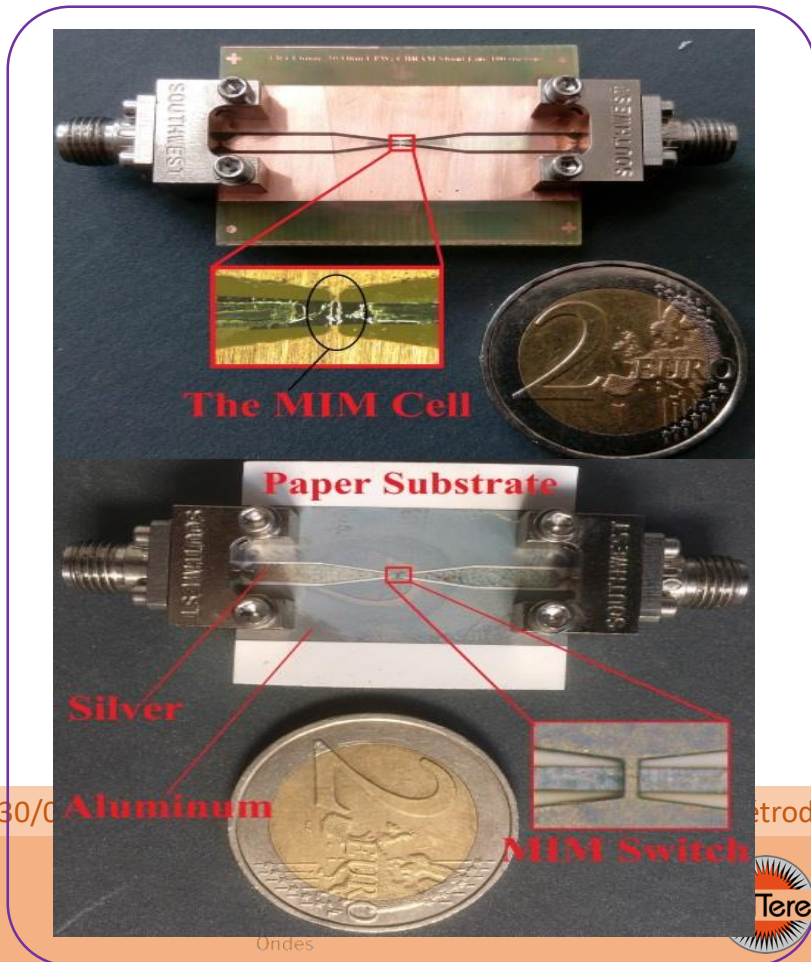


# PLAN

- Technologie CBRAM
- Circuits passifs reconfigurables sur substrat rigide
- Circuits passifs reconfigurables flexibles
- Etude de structures planaires
- Conclusion et perspectives

# CONCLUSION

Development of Fully Passive Solid-State RF-Switching Technology using **simple fabrication steps**, without any 'Clean Room' technologies, on common everyday objects (like **paper substrate**), and to apply this in the development of **electronically reconfigurable RF-Electronic devices**.

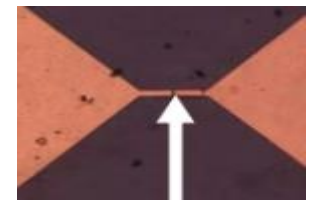


# CONCLUSION

Features	Our Design on Paper substrate	Our Design on FR4 [7]	State of the Art [3]
Min. Fabrication size Requirement	100 $\mu$ m	100 $\mu$ m	10 $\mu$ m
Frequency Range	DC - 3GHz	DC - 3GHz	DC - 6GHz
Isolation (avg.) (Off state)	<b>-16dB to -25dB</b>	<b>-16dB to -34dB</b>	-35dB
Insertion Loss(avg.) (On state)	<b>1.2dB</b>	<b>0.5dB</b>	0.5dB
Actuation Voltage	~10V/-20V*	~10V/-20V*	~1V
Power Consumption	$\mu$ W/mW*	$\mu$ W/mW*	$\mu$ W
Energy Consumption to Maintain State	0	0	0
'Set' - Resistance (avg.)	<b>2-5<math>\Omega</math></b>	<b>2-5<math>\Omega</math></b>	<b>10<math>\Omega</math></b>
Switching Speed	#	#	1 - 10 $\mu$ s
Alignment Accuracy required for fabrication	Low	Low	Very High
Fabrication Environment	Ambient room	Ambient room	Clean room
Fabrication Cost (Laboratory Perspective)	<b>Low</b>	<b>Low</b>	<b>High</b>
Fabrication Cost (Industrial Perspective)	<b>Low</b>	<b>Low</b>	<b>Moderate</b>

\* For Set/Reset respectively

# At present, we do not have enough information for calculating the switching time of the presented device.



# C O N T A C T U S



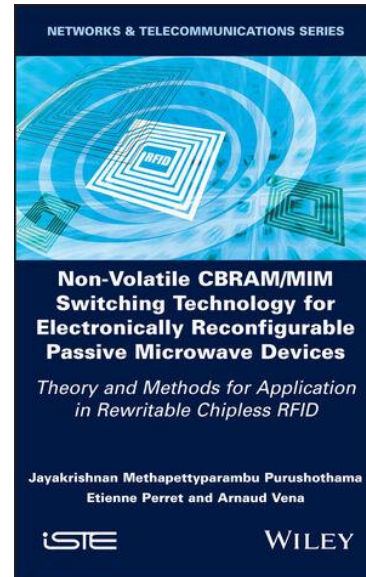
SCATTERERID PROJECT  
LCIS – Grenoble INP  
50, Rue Bartélémy de Laffemas  
BP54 26902 Valence Cedex 09



E-MAIL  
[contact@scattererid.eu](mailto:contact@scattererid.eu)



+33 (0)4 75 75 94 49



30/06/2022 Journée scientifique - « Communication par rétrodiffusion et rétro modulation »